

AL-Rafidain  
University College

PISSN: (1681-6870); EISSN: (2790-2293)

**مجلة كلية الرافدين الجامعية للعلوم**Available online at: <https://www.jrucs.iq>**JRUCS**Journal of AL-Rafidain  
University College  
for Sciences**التنبؤ بأعداد السكان في العراق باستعمال إنموذج هجين ضبابي**

مهدى وهاب نعمه نصر الله <a href="mailto:mehdi.wahab@uokerbala.edu.iq">mehdi.wahab@uokerbala.edu.iq</a>	بشار خالد علي <a href="mailto:bashar.k@uokerbala.edu.iq">bashar.k@uokerbala.edu.iq</a>
كلية الصفوة الجامعية، كربلاء، العراق	قسم الاحصاء، كلية الادارة والاقتصاد، جامعة كربلاء كربلاء، العراق
تهانى مهدى عباس <a href="mailto:tahani@pgiafs.uobaghda.edu.iq">tahani@pgiafs.uobaghda.edu.iq</a>	
المعهد العالي للدراسات المحاسبية والمالية، جامعة بغداد، بغداد، العراق	

**معلومات البحث****تواریخ البحث:**

تاریخ تقدیم البحث: 20/2/2024  
 تاریخ قبول البحث: 12/4/2024  
 تاریخ رفع البحث على الموقّع:  
 31/12/2024

**الكلمات المفتاحية:**

الإنموذج المختلط المتكامل الضبابي (FARIMA)، إنموذج الشبكات العصبية الاصطناعية المخفية (HANNs)، الضبابية، تقدير، تنبؤ، متعدد مربعات خطأ (MSE)، معيار معلومات بیز اکایکی (BIC).

للمراسلة:  
بشار خالد علي  
[bashar.k@uokerbala.edu.iq](mailto:bashar.k@uokerbala.edu.iq)

DOI: <https://doi.org/10.55562/jrucs.v56i1.4>**المستخلص**

بعد الإنموذج المختلط التكاملي (ARIMA) من النماذج الشائعة للتنبؤ بالسلسل الزمنية الخطية الغير مستقرة الذي يجمع بين إنموذج الانحدار الذاتي (AR) وإنموذج المتوسطات المتحركة (Moving Average MA) بتنصين الجزء المتكامل الذي يغير السلسل الزمنية لجعلها مستقرة. في نفس الوقت بعد التنبؤ بالشبكات العصبية الاصطناعية المخفية (Hidden Artificial neural network HANNs) ببيانات مختلطة والتي تعنى وجود مكونين رئيسين أو أكثر في البيانات مكون خطى ومكون غير خطى ويمكن أن تكون هذه المكونات متداخلة مما يحيط يكون التأثير الإجمالي هو مزيج من الآثرين بحيث يكون لكل مكون تأثيره الخاص على البيانات. في نفس الوقت قد نجد مشاهدات سلسلة زمنية في العالم الحقيقية تعاني من عدم الدقة في قياساتها ومن تلك الظواهر هي اعداد السكان في العراق من 1978 ولغاية 2023 والذي تعتمد اغلبيتها على التقدير ولا يتوفّر قياسات دقيقة وتبين فيها وجود جزء خطى وجزء لاخطي ناتج عن الظروف التي مر بها البلد. في هذا البحث تم اقتراح اسلوب تنبؤ بالسلسل الزمنية هجين ضبابي (Fuzzy Hidden Hybrid ARIMA) خليط من إنموذج (ARIMA) الضبابي وإنموذج الشبكات العصبية المخفية (HANNs) ثم التنبؤ باعداد السكان في العراق ومقارنة الإنموذج المقترن مع إنموذج (ARIMA) الضبابي وإنموذج (HANNs) وإنموذج الهجين الغير ضبابي باستعمال معايير المقارنة جذر متوسط مربعات الخطأ (Root mean square error RMSE) (BIC). وتم التوصل الى ان الإنموذج الهجين الضبابي المقترن (FHHAA) افضل من نماذجه الأساسية لكنه سجل اقل معايير المقارنة. وان القيم التقديرية لاعداد السكان كانت متناسبة اكثر وفق الإنموذج (FHHAA). تم التنبؤ باعداد السكان في العراق للسنوات (2028-2024) والذي لوحظ ان هناك تزايد في اعداد السكان عن سنة (2023) بما يقارب (6940432) نسمة بحلول عام (2028).

**1. المقدمة**

أن التنبؤ بأعداد السكان له أهمية كبيرة في عدة مجالات وقطاعات، منها تخطيط الموارد والبنية التحتية اذ يساعد التنبؤ بأعداد السكان في تحديد الاحتياجات المستقبلية للموارد والبنية التحتية، مثل الإسكان، والمدارس، والمستشفيات، ووسائل النقل ويمكن للحكومات والهيئات الرسمية تحقيق فعالية أكبر في تخطيط التنمية الحضرية وتوفير الخدمات العامة. وكذلك يساعد على التخطيط الاقتصادي من خلال توجيه التخطيط الاقتصادي وتحديد الاحتياجات المستقبلية للقوى العاملة، وبالتالي يمكن تعزيز التنمية

الاقتصادية وزيادة فرص العمل، وكذلك التخطيط للخدمات الاجتماعية. ان تحليل السلسلة الزمنية طريقة لدراسة خصائص متغير الاستجابة فيما يتعلق بالزمن كمتغير مستقل. انقدر المتغير المستهدف في التقدير أو التنبؤ، استخدم متغير الوقت متغير مستقل المستندة إلى الوقت، مثل السنوات والأشهر والأسابيع والأيام والدقائق والثانية. وان التنبؤ بها من الامور الصعبة التي واجهت الكثير من الباحثين وذلك بسبب الطبيعة المترقبة لبيانات السلسلة نتيجة التغيرات التي تطرأ عليها في مختلف ظروف العالم الحقيقي وفي نفس الوقت تعاني عدم الدقة في قياساتها لذلك لابد من الخروج من المنطق التقليدي الى المنطق الضبابي لغرض زيادة دقة البيانات المستعملة في التحليل للوصول الى انموذج يعتمد عليه في التنبؤ والتقدير. ففي عام (2011) استعمل Askari & Keshmirpour (2003) اقتراح (Zhang) منهجية هجينية تجمع بين انموذجي ARIMA والشبكات العصبية الاصطناعية (ANN) للاستدابة من القوة الناتجة من نماذج ARIMA و ANN في النمذجة الخطية وغير الخطية [27]. في عام (2007) قارن (Atilla et al.) بين انموذج ARIMA والشبكات العصبية والنماذج الهجينية في السلسلة الزمنية للتنبؤ بوصول السائحين [4]. في عام (2007) قارن (Kumar & M. Thenmozhi) بين انواع مختلفة من نماذج ARIMA الهجينية ونماذج الشبكة العصبية للتنبؤ بعائد مؤشر الأسهم واستراتيجية التداول [15]. في عام (2010) قارن (Eswaran & Rajasvaran) بين انموذج ARIMA والشبكة ARIMA العصبية ونماذج الانحدار الخطى للتنبؤ بمعدل وفيات الرضع [8]. في عام (2011) اقتراح (Khashei & Mehdi) انموذج تهجين جديد للشبكات العصبية الاصطناعية ونماذج ARIMA للتنبؤ بالسلسلة الزمنية عن طريقة تجارب محاكاة مونت-كارلو [14]. في عام (2014) قارن (Adebiyi et al.) نماذج ARIMA والشبكات العصبية الاصطناعية للتنبؤ بأسعار الأسهم [1]. في عام (2019) قارن (Luc) بين الشبكات العصبية الاصطناعية ونماذج ARIMA في التنبؤ بحركة المرور [18]. في عام (2021) مرج (Safi & Sanusi) الشبكة العصبية الاصطناعية، وانموذج التمهيد الأسوي، ونماذج ARIMA للتنبؤ بالسلسلة الزمنية لـ COVID-19 [22]. في عام (2020) طبق (Ramz L et al.) انموذج ARIMA الهجين والشبكة العصبية الاصطناعية لانتشار الكهرومغناطيسي [21]. في عام (2020) اجرى (Li & Li) دراسة مقارنة للتنبؤ بانموذج الشبكة العصبية الاصطناعية BP ونماذج ARIMA في حدوث مرض الإيدز [16]. في عام (2022) طبق (Stephen et al.) نماذج ARIMA و ARIMA في خليج هوما و 3 مقاطعات توركانا، كينيا [24]. في عام (2022) قارن (Lou et al.) انموذج ARIMA ونماذج (Deep Neural Networks (DNN) LSTM) في التنبؤ ببعض مرض تغبر الرئة المهني في تيانجين، الصين [17]. في عام (2023) تنبأ (Tarmanini) بالأحمال على المدى القصير بناءً على نهجي ANN و ARIMA لبيانات تمثل الحمل الحقيقي للكهرباء اليومية لـ 709 أسرة فردية تم اختيارها عشوائياً على مدار فترة 18 شهراً في أيرلندا. هدف هذا البحث الى اقتراح اسلوب هجين ضبابي (FHAA) خليط من انموذج (ARIMA) وإنموذج (HANNS) ثم التنبؤ باعداد السكان في العراق ومقارنة الإنموذج المقترن مع إنموذج (ARIMA) وإنموذج (HANNS) وإنموذج (ARIMA) وإنموذج (HANNS) الضبابي باستعمال معايير المقارنة جذر متوسط مربعات الخطأ (RMSE) ومعيار معلومات بيز اکایکی (BIC) وإنموذج الهجين الغير ضبابي .

## 2. إنموذج FARIMA الضبابي (Fuzzy Autoregressive Integrated Moving Average Models)

قدم انموذج ARIMA من قبل بوكس وجينكينز لتحليل السلسلة الزمنية غير مستقرة (Non - Stationary) من ذات نفسها ولكنها تصبح مستقرة بعد الكثير من التحويلات او الفروق ولذلك فالانموذج الذي يعبر عن هذه العملية سوف يختلف عن الانموذج الاصلي اذ يجب ان يتضمن تلك التحويلات او الفروق التي اجريت على الانموذج ، ان هذه النماذج المستقرة تدعى بنماذج (ARIMA) . يتكون هذا الانموذج من ثلاثة اجزاء، يمثل الجزء الاول منها انموذج انحدار ذاتي (AR(p) بالرتبة p وهو الجزء الذي يستخدم عادة في عملية التنبؤات للسلسلة الزمنية، اما الجزء الآخر فيمثل الاوساط المتحركة (q) بالرتبة q ، ويمثل الجزء الثالث (d) الفرق الذي تتطلبها السلسلة من اجل ان تكون مستقرة ولذلك فإنه يعبر عن انموذج ARIMA اللاموسمية بالشكل (ARIMA (p, d, p)) ، ويمكن التعبير هذا الانموذج بالصيغة الرياضية الآتية: [10]

$$\phi(B)(1-B)^d x_t = \theta(B)a_t \quad (1)$$

اذ أن:

$$\phi(B) = (1 - \phi_1 B - \dots - \phi_p B^p)$$

$$\theta(B) = (1 - \theta_1 B - \dots - \theta_q B^q) \quad (2)$$

$$(1 - B)^d = \nabla^d$$

وان  $B$  هي عامل الارتداد الخلقي (التخلف الزمني) اي ان  $\nabla^d x_t = Z_t$  ، واذا فرضنا ان  $\psi_t = \psi_{t-j} B^j$  ، فأنه يمكن كتابة انموذج ARIMA (p, d, q) بالشكل الآتي:

$$Z_t = \phi_1 Z_{t-1} + \phi_2 Z_{t-2} + \dots + \phi_p Z_{t-p} + a_t - \theta_1 a_{t-1} - \theta_2 a_{t-2} - \dots - \theta_q a_{t-q} \quad (3)$$

اذا ان  $a_t$  يمثل سلسلة التشويش الابيض (White noise) بمتوسط صفر وتبين ثابت  $\sigma_a^2$ . فاذا كانت  $Z_t$  لها متوسط غير الصفر ولتكن  $m$  مثلاً فأن ذلك سيقتضي استبدال  $(Z_t, Z_{t-1}, \dots, Z_{t-p})$  لتصبح بالشكل  $(Zt-m, Zt-1-m, \dots, Zt-p-m)$  ضمن موقعها في الانموذج. واذا عرفت  $Z_t$  بأنها عملية عشوائية مستقرة خطية بعد غير محدود ( $t$ ) من المركبات فإنه يمكن التعبير عن  $Z_t$  باتجاه واحد من الاوساط المتحركة (MA) (Moving Average) وكمما يأتي: [23]

$$\begin{aligned} Z_t &= a_t + \psi_1 a_{t-1} + \psi_2 a_{t-2} + \dots \\ &= \sum_{j=0}^{\infty} \psi_j a_{t-j} ; \quad \psi_0 = 0 \\ &= \psi(B) a_t \end{aligned} \quad (4)$$

وان  $\psi(B)$  تتحقق  $\lim_{j \rightarrow \infty} |\psi_j| < \infty$  as  $j \rightarrow \infty$  وهذا الشرط يعكس مدى تقارب متعدد الحدود  $(B)$  ، إلا أنه من الصعب امكانية الوصول الى تقدير الانموذج بسبب ان  $(B)\psi$  تحتوي على عدد لا نهائي من المعالم، ولذلك يمكن استخدام نسبة تقريبية محددة وهي  $\phi(B) = \frac{\theta(B)}{\psi(B)}$  اذ ان  $\theta(B)$  هما متعددتا حدود في  $B$  من درجة  $p, q$  على التوالي، وعليه يمكن كتابة  $Z_t = \frac{\theta(B)}{\phi(B)} a_t$  واذا تم ضرب طرفي المعادلة بالمقدار  $Z_{t-k}$  اذ ان  $k > q$  ، ومن ثم

$$\gamma_k + \phi_1 \gamma_{k-1} + \dots + \phi_p \gamma_{k-p} = 0 \quad (5)$$

اي ان  $\phi(B)\gamma_k = 0$  وان  $\gamma_k$  : دالة  $\phi(B)$  ،  $\phi$  : يمثل متعدد الحدود (polynomial) في  $B$ . اما ايجاد قيمة دالة التباين المشترك الذاتي فهي الحل لمعادلة الفروق المتتجانسة كما في المعادلة (36-2) التي ستصبح بالشكل الآتي:

$$\gamma_k + \phi_1 \gamma_{k-1} + \dots + \phi_{k-1} \gamma_{k-(k-1)} + \phi_k = 0 \quad (6)$$

واما كانت  $(r_1, r_2, \dots, r_p)$  جذور المعادلة  $\phi(B)\gamma_k = 0$  فيمكن كتابة  $\gamma_k$  على وفق الصيغة

وهي التي تقارب الى الصفر كلما كانت  $|r_i| < 1$  ;  $i=1, 2, \dots, p$  ،  $\gamma_k \rightarrow 0$  as  $k \rightarrow \infty$  اي

وبمقارنة المعادلين (5) و (6) يتضح ان  $r_1, \dots, r_p$  هي معكوس للجذور  $B_1, \dots, B_p$  لمتعدد الحدود  $\phi(B)$  وهذا يعني ان  $r_i^{-1} = B_i$  ، وعليه فإن الجذور تكون أكبر من الواحد الصحيح ، اي خارج دائرة الوحدة وعليه يمكن التعبير عن متعدد الحدود المتسلسلة المستقرة بالصيغة الآتية: [11]

$$\phi(B^{-1}) = \frac{1}{(1 - r_1 B^{-1}) \dots (1 - r_p B^{-1})} \quad (7)$$

ومن الصيغة (3) تكون الدالة المولدة للتباين المشترك (AGF) هي:

$$\gamma(B, F) = \frac{\theta(B)\theta(F)}{\phi(B)\phi(F)} \quad (8)$$

وهي الصيغة التي تحقق شروط الاستقرارية من تماثل وتقارب وبشكل عام قد تكون اقرب صيغة للتعبير عن الانموذج ARIMA  $(p, d, q)$  بأقل عدد من المعالم هي نماذج ARMA مع اختلاف شكل هذه المعالم وعدادها، يمكن الحصول على ما يأتي:

$$\psi(B) = \phi(B)(1-B)^d = 1 - \phi_1 B - \phi_2 B^2 - \dots - \phi_p B^p + \dots + d B^{p+d} \quad (9)$$

وعليه يمكن التعبير عن الانموذج السابق عندما يكون الوسط الحسابي يساوي (صفر) بالصيغة الآتية:

$$Z_t = \phi_1 Z_{t-1} + \dots + \phi_p Z_{t-p} + \dots + d Z_{t-p-d} + a_t - \theta_1 a_{t-1} - \dots - \theta_q a_{t-q} \quad (10)$$

وهو انموذج ARIMA من الرتبة  $(q, p)$ . وعليه يمكن اعتبار انموذج ARIMA هي انموذج ARMA مستقرة مع اختلاف الرتبة.

انموذج FRIMA الضبابي هو الجمع بين اسلوب الانحدار الضبابي وانموذج ARIMA و يتم وصف انموذج FARIMA الضبابي بواسطة دالة ضبابية ذات معلمات ضبابية: [26]

$$\tilde{\phi}_p(B)W_t = \tilde{\theta}_q(B)a_t \quad (11)$$

$$W_t = (1 - B)^d(Z_t - \mu) \quad (12)$$

$$\tilde{W}_i = \tilde{\phi}_1 W_{t-1} + \tilde{\phi}_2 W_{t-2} + \dots + \tilde{\phi}_p W_{t-p} - \tilde{\theta}_1 a_{t-1} - \tilde{\theta}_2 a_{t-2} - \dots - \tilde{\theta}_q a_{t-q} \quad (13)$$

اذ ان  $Z_t$  هي مشاهدات السلسة الزمنية ،  $\tilde{\theta}_1, \tilde{\theta}_2, \dots, \tilde{\theta}_q, \tilde{\phi}_1, \tilde{\phi}_2, \dots, \tilde{\phi}_p$  معلمات الانموذج وتمثل اعداد ضبابية ، ويمكن تعديل المعادلة (12) كالتالي:

$$\tilde{W}_i = \tilde{\beta}_1 W_{t-1} + \tilde{\beta}_2 W_{t-2} + \dots + \tilde{\beta}_p W_{t-p} + a_t - \tilde{\beta}_{p+1} a_{t-1} - \tilde{\beta}_{p+2} a_{t-2} - \dots - \tilde{\beta}_{p+q} a_{t-q} \quad (14)$$

بحيث تكون المعلمات في صيغة رقم ضبابي مثلثي وكالتالي:

$$\mu_{\tilde{\beta}_i}(\beta_i) = \begin{cases} 1 - \frac{|\beta_i - \alpha_i|}{\lambda_i} & \text{if } \alpha_i \leq \beta_i \leq \lambda_i \\ 0 & \text{o.w} \end{cases} \quad (15)$$

اذ ان  $(\beta_i)$  هي دالة الانتماء للمجموعة الضبابية الممثلة للمعلمات  $\beta_i$  ،  $\alpha_i$  ، هي مركز العدد الضبابية ،  $\lambda_i$  الانشار حول مركز الرقم الضبابي . وباستعمال المعاملات  $\beta_i$  في صيغة الارقام الضبابية المثلثية في معادلة (10) فان درجات الانتماء للـ  $W$  في معادلة (13) تعطى كالتالي: [9]

$$\mu_{\tilde{w}_t}(W_t) = \begin{cases} 1 - \frac{|W_t - \sum_{i=1}^p \alpha_i W_{t-i} - a_t + \sum_{i=p+1}^{p+q} \alpha_i a_{t+p-i}|}{\sum_{i=1}^p \lambda_i |W_{t-i}| + \sum_{i=p+1}^{p+q} \lambda_i |a_{t+p-i}|} & \text{if } W_t \neq 0, \quad a_t \neq 0 \\ 0 & \text{o.w} \end{cases} \quad (16)$$

في الوقت نفسه، تمثل  $Z_t$  المشاهدة  $t$  ، والمستوى  $h$  هو قيمة العتبة التي تمثل الدرجة التي يجب أن يرضي بها النموذج جميع نقاط البيانات  $Z_1, Z_2, \dots, Z_k$  . وان اتساع  $\lambda_i$  للملعمة الضبابية،  $Z_z(Z_t)$  for  $t = 1, 2, \dots, k$  . والمؤشر  $t$  يشير الى عدد البيانات الغير ضبابية التي تستعمل لإنشاء الانموذج . [9]

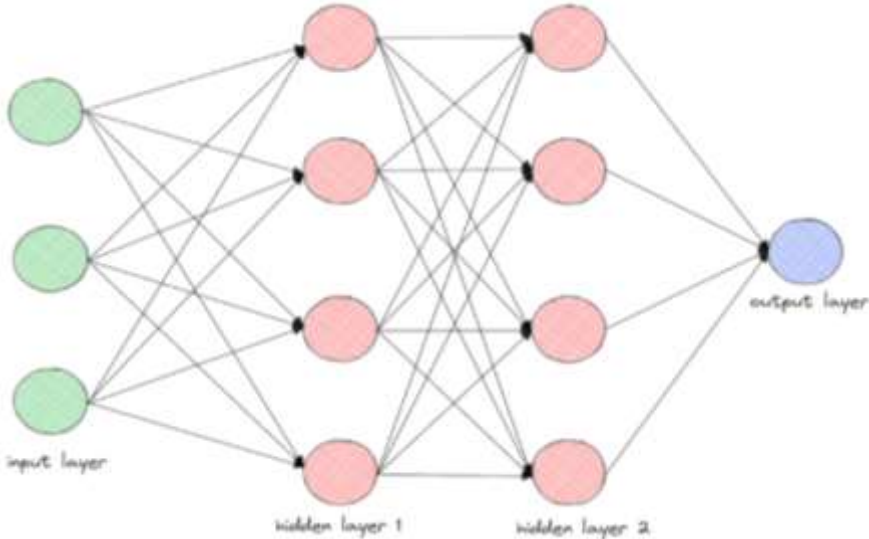
### 3. الشبكات العصبية المخفية (Hidden Neural Network)

تعد الشبكة العصبية انموذج حسابي مستوحى من الطريقة التي تعمل بها الشبكات العصبية البيولوجية في الدماغ البشري. وهي تتألف من عقد متراقبة، أو خلايا عصبية صناعية، منظمة في طبقات. النوع الأكثر شيوعاً هو الشبكة العصبية ذات التغذية الأمامية، حيث تنتقل المعلومات في اتجاه واحد، من طبقة الإدخال عبر الطبقات المخفية إلى طبقة الإخراج. ومع ذلك، هناك أيضاً شبكات عصبية متكررة (Recurrent Neural Network RNNs). الطبقات المخفية (Hidden Layers) هي طبقات موجودة بين طبقات الإدخال والإخراج. تحتوي هذه الطبقات على خلايا عصبية أو عقد، وتلعب دوراً كبيراً في قدرة الشبكة على التعلم والت鹓ط الأنماط المعقدة في البيانات. عندما يكون هناك شبكة عصبية تحتوي على أكثر من طبقة مخفية، يُشار إليها غالباً باسم الشبكة العصبية العميقa (Deep Neural Network DNN). وبأي مصطلح التعلم العميق (Deep Learning) من عمق هذه الشبكات، مما يعني أنها تحتوي على طبقات متعددة. أظهرت الشبكات العصبية العميقa نجاحاً ملحوظاً في العديد من التطبيقات، بما في ذلك التعرف على الصور والكلام، ومعالجة اللغة الطبيعية، وغيرها الكثير. تسمح إضافة الطبقات المخفية للشبكات العصبية بتعلم الميزات والتمثيلات الهرمية. تستخرج كل طبقة ميزات مختلفة من البيانات المدخلة، وتقوم الطبقات اللاحقة بدمج هذه الميزات لتكون تمثيلات أكثر تجريداً وتعقيداً. يمكن تعلم الميزات الهرمي هذا الشبكات العصبية من نمذجة العلاقات المعقدة في البيانات، مما يجعلها أدوات قوية لمهام مثل تصنيف الصور وترجمة اللغة والمزيد. يتضمن تدريب الشبكات العصبية العميقa استخدام مجموعات بيانات كبيرة وضبط أوزان وتحيزات الاتصالات بين الخلايا العصبية من خلال عملية تسمى الانشارة العكسي. تتبع هذه العملية للشبكة تحسين قدرتها بشكل متكرر على إجراء تنبؤات أو تصنيفات دقيقة. إن ترتيب العقد في المستويات أو الطبقات وشكل الترابط ضمن المستويات (الطبقات) أو فيما بينها، فهي من أهم خصائص الشبكة العصبية والتي توصف على أساسها الشبكة. وتصنف الشبكات بحسب عدد مستوياتها (طبقاتها) إلى صنفين رئيسيين الأولي شبكات وحيدة المستوى أو الطبقة (Single-level or layer) والتي لا تمتلك طبقة (مستوى) مخفية. شبكات متعددة المستويات (الطبقات) (Multi-level or layers) والتي لها مستوى (طبقة) مخفية واحد أو أكثر وهي نوعان أيضاً شبكة أمامية التغذية (Feed Forward N.) وشبكة عكسية التغذية (Feed Backward N.). وبشكل عام، فإن معمارية الشبكة العصبية الاصطناعية الإنموذجية مكونة من ثلاثة مستويات (طبقات) هي مستوى (طبقة) الإدخال (Input level) : هو المستوى الأول في الشبكة العصبية، يحتوي على عدد من العقد تمثل عدد المتغيرات المستقلة (الإدخالات). المستوى (الطبقة) المخفي (Hidden Level) وهو المستوى الأوسط الذي يقع بين المستوى الأول (الإدخال) والمستوى الأخير (الإخراج)، فهو يلي المستوى الأول. ومستوى (طبقة) الإخراج (Output Level) وهو المستوى الأخير في الشبكة العصبية الاصطناعية الذي يمثل مخرجات الشبكة العصبية. ويكون كل مستوى من المستويات الثلاثة أعلاه من:

[1, 4, 15] 1. العقد أو الخلايا (Nodes): تشكل نقاط الترابط العصبي بين مستويات (طبقات) الشبكة العصبية.

2. المستوى (Level) : يمثل مجموعة العقد أو الخلايا التي تستلم الإدخال ولها إخراج.
3. الأوزان (Weights): تشير الأوزان إلى مدى قوة الارتباط العصبي بين مستويات (طبقات) الشبكة العصبية فكل عقدة (خلية) وزن يربطها مع المستوى السابق، ووزن يربطها مع المستوى اللاحق. إن القيم الأولية للأوزان (Initial Weights) في بداية تدريب الشبكة (Network Training) قيم عدديّة عشوائية يتم توليدها من توزيعات إحصائية.
- وفي الشبكة العصبية ثلاثة طبقات من الأوزان هي:

1. طبقة أوزان مستوى الإدخال والمستوى المخفية (Input to Hidden Weights)
  2. طبقة أوزان بين المستويات المخفية (Hidden Weights)
  3. طبقة أوزان المستوى المخفية ومستوى الإخراج (Hidden to Output Weights).
- والشكل (1) مخطط يوضح معمارية الشبكة العصبية الاصطناعية الإنمودجية.



شكل (1): انموذج الشبكة العصبية المخفية

#### 4. الإنموذج الهجين (HANN-FARIMA Hybrid Model)

بعد الباحث (Zang) أول من طرح فكرة النماذج الهجينية ، وبعد الإنموذج الهجين (Hybrid model) هو الإنموذج الناتج والمتأثر من الدمج مابين إنموذج خطى (Linear Model) وإنموذج غير خطى (Non Linear Model) للسلسلة الزمنية او بالعكس والهدف من ذلك هو تحسين دقة التنبؤات المستقبلية [3, 5].

فإذا كانت لدينا سلسلة زمنية  $Z_t$ ,  $t=1,2,\dots, k$  ، مؤلفة من مركبتين الاولى خطية (Linear) والثانية غير خطية (Non Linear) كما في المعادلة الآتية : [12, 21]

$$Z_t = L + N \quad (17)$$

اذ ان  $L$  تمثل المركبة الخطية في السلسلة الزمنية ،  $N$  تمثل المركبة اللا خطية في السلسلة الزمنية.  
وان تحليل هذه السلسلة الزمنية سيتم وفق الخطوات الآتية :

1. يتم استعمال انموذج اريما الضبابي (FARIMA) لتمثيل الانموذج الخطى في السلسلة الزمنية ومن ثم حساب التنبؤات ،  
ومن ثم حساب الباقي (الأخطاء العشوائية) وفق المعادلة الآتية : [13]

$$a_t = Z_t - \hat{Z}_t \quad (18)$$

وان  $\hat{Z}_t$  تمثل تقديرات السلسلة الزمنية باستعمال انموذج FARIMA ،  $a_t$  تمثل الباقي. وان الاخطاء العشوائية (الباقي)  
المستخرجة من انموذج FARIMA سيتم اعتبارها الجزء اللاخطي للسلسلة الزمنية ويمكن تمثيلها بانموذج الشبكات العصبية  
المخفية للحصول على القيم المتوقعة لها وكما في المعادلة الآتية :

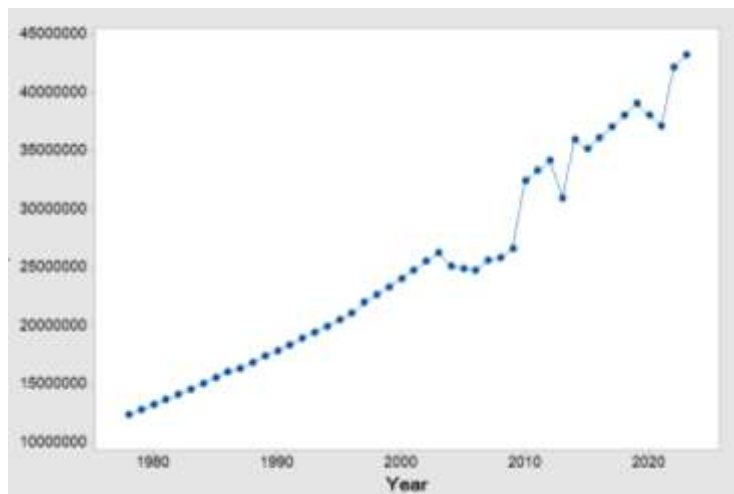
$$N = f(a_1, a_{t-2}, \dots, a_{t-p}) + \epsilon_t \quad (19)$$

اذ ان  $\epsilon_t$  الخطأ العشوائي ،  $f$  دالة غير خطية تحدد من خلال الشبكة العصبية المخفية  
2. جمع القيم المتباينة بها للسلسلة من خلال انموذج FRIMA مع القيم المتوقعة للباقي التي تم حسابها من قيم انموذج  
الشبكات العصبية المخفية (HNN) والتي بدورها تنتج القيم المتوقعة النهائية للسلسلة الزمنية كما في المعادلة الآتية :

$$\hat{Z}_t = \hat{L} + \hat{N} \quad (20)$$

#### 5. الجانب التطبيقي (Application side)

تم تطبيق بيانات تقديرية تمثل اعداد السكان في العراق من (1978) ولغاية (2023) بالسنوات مجمعة من موقع وزارة  
التخطيط- الجهاز المركزي للإحصاء وتعد هذه البيانات تقديرات لاعداد السكان وهي غير دقيقة وتعاني من الضبابية وغير  
مقاسة بدقة عدا السنوات التي جرى بها تعداد سكاني والشكل (2) يوضح منحنى السلسلة الزمنية لاعداد السكان في العراق.



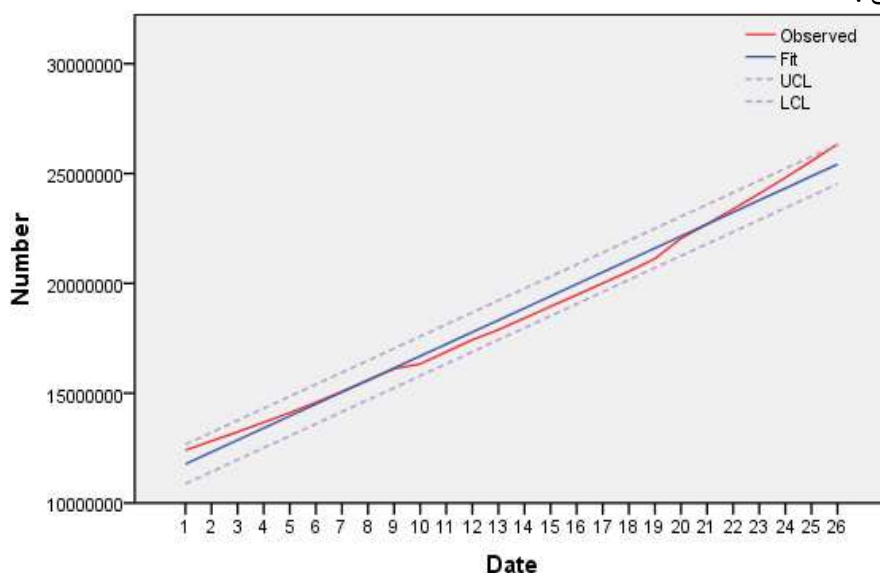
شكل (2): منحنى السلسلة الزمنية لاعداد السكان في العراق للفترة من سنة 1978 ولغاية سنة 2023

نلحظ من الشكل (2) ان اعداد السكان في العراق له اتجاه عام متزايد لحد سنة (2003) ثم يبدأ بالانخفاض من سنة (2004) ولغاية (2009) وهي الفترة التي عانى منها العراق من الطائفية والتغيرات التي أدت بارواح الآلاف من العراقيين نتيجة السيارات المفخخة، ومن ثم هناك ارتفاع في اعداد السكان للسنوات (2010) ولغاية (2019) ومن ثم انخفاض في اعداد السكان في سنة (2020) ولغاية (2021) نتيجة الوفيات التي حصلت بسبب جائحة كورونا. وبعدها اي في سنتي (2022) و(2023) هناك زيادة في اعداد السكان.

تم استعمال برنامج ماتلاب لغرض تطبيق انموذج اريما الضبابي FARIMA بتطبيق اول (26) مشاهدة لعرض ملائمة الانموذج والذي يعد الجزء الخطي حسب اختبار خطية السلسلة الزمنية باستعمال اختبار الاشارة (Run test) والذي اظهر خطية السلسلة الزمنية لأن قيمة Sig. والبالغة (0.557781) اكبر من مستوى المعنوية ومن ثم اختبار استقرارية السلسلة الزمنية التي وجد انها غير مستقرة ولها اتجاه عام اي انها غير مستقرة بالمتوسط وبأخذ اخذ الفرق الأول لها تم الحصول على استقرارية اسلسلة الزمنية بعد ان تم استخراج معاملات الارتباط الذاتي (AR) ومعاملات الارتباط الذاتي الجزئي (PAR) قد تبين ان أفضل انموذج هو ARIMA(1,1,0) بالمعادلة الآتية:

$$Z_t = -1068169421 + 545977.78Z_{t-1} + a_t$$

وتم اختبار دقة الانموذج باستعمال احصاء Ljung-Box (المعدلة والتي كانت (19.76772) عند الاذاحة (26) وان قيمة Sig. معنوية، بعد ذلك تم اختبار الباقي  $a_t$  لوحظ بأنه لا يوجد ارتباط ذاتي فيما بينها. وهذا يدل على ان الانموذج ملائم وكفؤ لتمثيل السلسلة الزمنية. الشكل (3) يبيّن القيم المشاهدة والملازمة بموجب انموذج FARIMA وحدود النقطة لسلسة اعداد السكان في العراق .



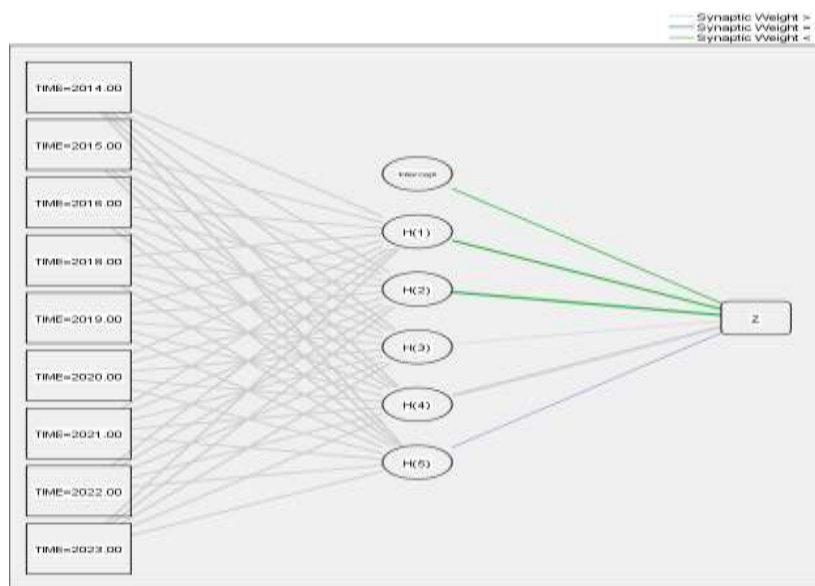
شكل (3): انموذج أريما الضبابي FARIMA لسلسة اعداد السكان في العراق

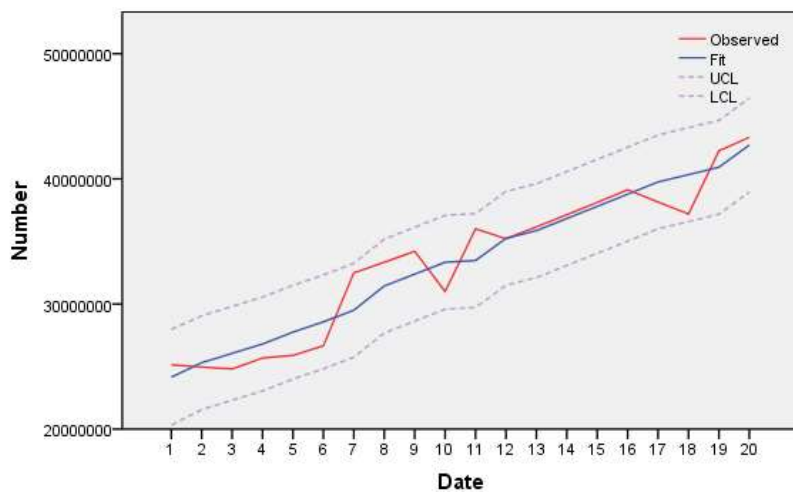
**جدول (1): القيم الحقيقة والمقدرة والحد الأعلى والحد الأدنى لسلسة اعداد السكان في العراق بموجب FARIMA**

Actual values	Predicted values	LCL	UCL
12405000	11774624	10878541	12670706
12821000	12320602	11424519	13216684
13238000	12866579	11970497	13762662
13669000	13412557	12516475	14308640
14110000	13958535	13062453	14854618
14586000	14504513	13608430	15400595
15077000	15050491	14154408	15946573
15585000	15596468	14700386	16492551
16110000	16142446	15246364	17038529
16335000	16688424	15792341	17584506
16882000	17234402	16338319	18130484
17428000	17780379	16884297	18676462
17890000	18326357	17430275	19222440
18419000	18872335	17976253	19768418
18949000	19418313	18522230	20314395
19478000	19964291	19068208	20860373
20007000	20510268	19614186	21406351
20536000	21056246	20160164	21952329
21124000	21602224	20706141	22498306
22046000	22148202	21252119	23044284
22702000	22694179	21798097	23590262
23382000	23240157	22344075	24136240
24086000	23786135	22890053	24682218
24813000	24332113	23436030	25228195
25565000	24878091	23982008	25774173
26340000	25424068	24527986	26320151

تم تطبيق الـ (20) مشاهدات الباقية من سنة 2004 ولغاية 2023 لغرض ملائمة انموذج الشبكات العصبية المتعددة الطبقات المخفية والذي يعد الجزء الالخطي من بيانات السلسلة الزمنية حسب اختبار الاشارة (Run test) (Run test) والذي اظهر عدم خطية السلسلة الزمنية لأن قيمة Sig. وباللغة (0.00000) اقل من مستوى المعنوية. بتحديد (70%) من المشاهدات كعينة تدريب و (30) منها عينة اختبار اذ تم تحديد (5) طبقات مخفية باستعمال دالة تنشيط لخطية وهي الدالة الاسية وتم تحديد عقد الادخال بالاخذ بنظر الاعتبار كل متغير مزاح زمنياً واستخراج مقدار تأثيره على السلسلة الزمنية لاعداد السكان اذ تم تحديد الاذ احات المعنوية وهي (12, 1,2, ..., 12) اي ان الانموذج هو:

$$Z_t = f(Z_{t-1}, Z_{t-2}, \dots, Z_{t-12}) = HNN(1,2, \dots, 12,5) \quad (21)$$

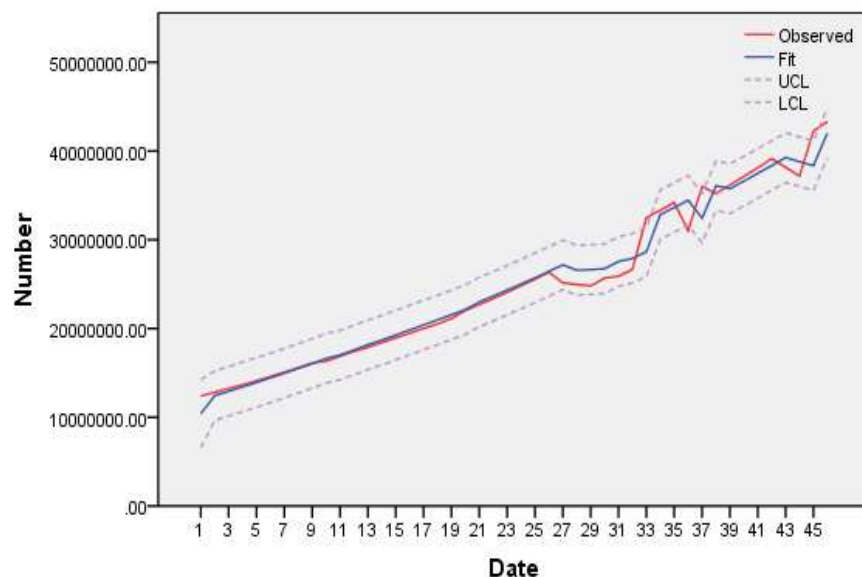
**شكل (4): معمارية الشبكة العصبية المخفية HNN بـ (5) طبقات مخفية لسلسة اعداد السكان في العراق**



شكل (5): أنموذج الشبكات العصبية المخفية HNN لسلسة اعداد السكان في العراق  
جدول (2): القيم الحقيقة والمقدرة والحد الاعلى والحد الادنى لسلسة اعداد السكان في العراق بموجب HNN

Actual values	Predicted values	LCL	UCL
24125513	20418088	27832939	1013487
25095886	21388460	28803311	-132886
26066258	22358832	29773684	-1256258
27036630	23329205	30744056	-1354630
28007003	24299577	31714428	-2112003
28977375	25269949	32684800	-2313375
29947747	26240321	33655173	2542253
30918119	27210694	34625545	2419881
31888492	28181066	35595917	2319508
32858864	29151438	36566290	-1858464
33829236	30121811	37536662	2175312
34799609	31092183	38507034	412991
35769981	32062555	39477407	399142
36740353	33032928	40447779	399166
37710726	34003300	41418151	413456
38681098	34973672	42388524	446802
39651470	35944045	43358896	-1501296
40621842	36914417	44329268	-3431184
41592215	37884789	45299640	656685
42562587	38855161	46270013	761413

والجدول (3) والشكل (5) يبين الانموذج الهجين لبيانات اعداد السكان في العراق



**شكل (5): الانموذج الهجين لسلسة اعداد السكان في العراق**  
**جدول (3): القيم الحقيقة والمقدرة والحد الاعلى والحد الادنى لسلسة اعداد السكان في العراق بموجب الانموذج الهجين**

Year	Actual values	Predicted values	LCL	UCL
1978	12405000	12417701	6584197	14251204
1979	12821000	12742320	9656239	15228400
1980	13238000	13154591	10148510	15720671
1981	13669000	13527549	10641468	16213629
1982	14110000	13990123	11144043	16716203
1983	14586000	14469566	11653486	17225646
1984	15077000	14973050	12186970	17759130
1985	15585000	15556837	12730757	18302917
1986	16110000	16072301	13286221	18858381
1987	16335000	16639442	13853362	19425522
1988	16882000	17008519	14214439	19786600
1989	17428000	17512772	14796691	20368852
1990	17890000	18164337	15378257	20950417
1991	18419000	18688205	15902124	21474285
1992	18949000	19258093	16472013	22044173
1993	19478000	19828668	17042588	22614749
1994	20007000	20398557	17612477	23184637
1995	20536000	20968445	18182365	23754526
1996	21124000	21538334	18752254	24324414
1997	22046000	22148748	19362668	24934829
1998	22702000	22988580	20202500	25774661
1999	23382000	23645703	20859622	26431783
2000	24086000	24319310	21533229	27105390
2001	24813000	25009402	22223322	27795483
2002	25565000	25715293	22929212	28501373
2003	26340000	26438355	23652275	29224436
2004	25139000	27177216	24391136	29963297
2005	24963000	26558803	23772723	29344884
2006	24810000	26644442	23858361	29430522
2007	25682000	26745878	23959798	29531959
2008	25895000	27551367	24765286	30337447

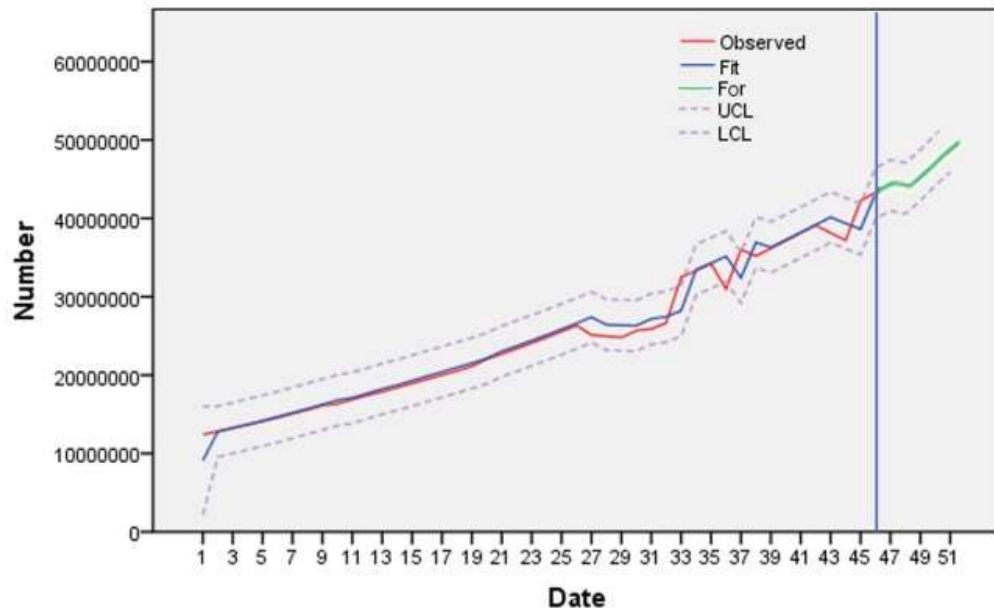
2009	26664000	27904201	25118121	30690282
2010	32490000	28638941	25852860	31425021
2011	33338000	32847230	30061149	35633310
2012	34208000	33636233	30850152	36422313
2013	31000400	34440347	31654267	37226428
2014	36004548	32443642	29657562	35229722
2015	35212600	36087418	33301337	38873498
2016	36169123	35749974	32963894	38536054
2017	37139519	36613519	33827439	39399600
2018	38124182	37486594	34700513	40272674
2019	39127900	38369468	35583387	41155548
2020	38150174	39265430	36479350	42051511
2021	37190658	38800380	36014299	41586460
2022	42248900	38347837	35561757	41133917
2023	43324000	42028769	39242688	44814849

جدول (4): معايير مقارنة النماذج

Model	RMSE	BIC
FARIMA	5.668291	33.657888
HNN	4.178965	31.378953
Hybrid	0.02123	28.550127

التنبؤ: تم التنبؤ باستعمال الانموذج الهجين لخمس سنوات قادمة وكما في الجدول الآتي:  
جدول (5): القيم التنبؤية لسلسة اعداد السكان في العراق للسنوات من 2024 ولغاية 2028

Year	Hybrid Forecast
2024	43787896
2025	44565688
2026	45679031
2027	47459066
2028	50264432



شكل (6): منحنى القيم المشاهدة والتقديرية والتنبؤية بتطبيق الانموذج الهجين لسلسة اعداد السكان في العراق

## 6. المناقشة والنتائج

جدول (2) وشكل (4) المتضمنة لقيم الحقيقة والمقدرة والحد الاعلى والحد الادنى لسلسة اعداد السكان في العراق بموجب FARIMA الذي يتضح بان القيم المقدرة متناسبة مع القيم الحقيقة باستعمال انموذج اريما (ARIMA) لتقدير اعداد السكان في العراق وهذا يدل عل الانموذج اعطى ملائمة افضل مايكون للجزء الخطى من البيانات اي لحد سنة (2003) .اما التنبؤ باستعمال الشبكات العصبية الاصناعية المخفية للسنوات من 2004 ولغاية سنة (2023) كما في الجدول (3) والشكل (5) ايضاً اثبت الانموذج دقة وتناسب التقدير اذ كانت القيم المقدرة اقرب مايكون للقيم الحقيقة وهذا يدل على ان الانموذج ملائم في تقيير المركبة اللاخطية للسلسلة الزمنية .وان تقدیرات سلسلة اعداد السكان في العراق باستعمال الانموذج الهجين المؤلف من دمج تقدیرات انموذج اريما وانموذج الشبكات العصبية المخفية كان ذو دقة عالي نسبة الى تقدیرات كل انموذج على حدة وهذا ماتبين من خلال اتساق القيم التقديرية مع القيم الحقيقة ويؤكد ذلك جدول (4) الذي يوضح معايير مقارنة النماذج والذي بين ان الانموذج الهجين اعطى اقل جذر متوسط مربعات خطأ واقل قيمة لمعلومات اكايكي .اما الجدول (5) بيین القيم التنبؤية لسلسة اعداد السكان في العراق للسنوات من 2024 ولغاية 2028 والتي تظهر تزايد في اعداد السكان عن سنة (2023) بما يقارب (6940432) نسمة بحلول عام (2028) .

## 7. الاستنتاجات

بينت نتائج الجانب العملي افضلية الانموذج الهجين المؤلف من دمج الانموذج التكاملي ARIMA مع انموذج الشبكات العصبية المخفية HNNS في تقيير اعداد السكان في العراق للفترة من (1978) ولغاية (2023) . وان القيم التنبؤية لاعداد السكان في العراق كانت في تزايد لغاية سنة 2028 .وان الانموذج اريما كان ملائم للبيانات الخطية في السلسلة الزمنية وانموذج الشبكات العصبية المخفية كان ملائم للجزء اللاخطى في البيانات.

## 8. التوصيات

من خلال ماتم التوصل اليه من نتائج اوصل الباحثين بضرورة اعتماد تقدیرات دقة لاعداد السكان في العراق بالاعتماد على المسح الميدانية وتسجيل دقيق لحالات الولادة والوفاة والهجرة وضرورة تنسيق وزارة التخطيط مع وزارة الصحة العراقية ووزارة الهجرة والمهجرين لغرض الوصول الى ارقام دقة لاعداد السكان.

## المصادر

- [1] Adebiyi, Ayodele Ariyo; Adewumi, Aderemi Oluyinka; and Ayo, Charles Korede, (2014), " Comparison of ARIMA and Artificial Neural Networks Models for Stock Price Prediction ", Hindawi Publishing Corporation , Journal of Applied Mathematics , Volume 2014, Article ID 614342, 7 pages <http://dx.doi.org/10.1155/2014/614342> .
- [2] Ahlborg , Dennis & Cassen , Robert, (2023), " Population and development", LSE Research Online and LSTM model in predicting disease burden of occupational pneumoconiosis in Tianjin, China". BMC Public Health (2022) 22:2167 <https://doi.org/10.1186/s12889-022-14642-3> .
- [3] Askari , Reza Moghadam; Keshmirpour, Mehrnaz, (2011), " Hybrid ARIMA and Neural Network Model for Measurement Estimation in Energy-Efficient Wireless Sensor Networks ", <https://www.researchgate.net/publication/279385869>, Communications in Computer and Information Science.
- [4] Atilla Aslanargun , Mammadagha Mammadov , Berna Yazici & Senay Yolacan, (2007), " Comparison of ARIMA, neural networks and hybrid models in time series: tourist arrival forecasting ", Journal of Statistical Computation and Simulation. Vol. 77, No. 1, January 2007, 29–53.
- [5] Butaina, Abdul Jader Abdul Aziz, Ali Ahmed Hassan, (2016), "Using hybrid and non-hybrid time series models to predict the numbers of travelers to Baghdad International Airport," Journal of Management and Economics, Al-Mustansiriya University, Thirty-ninth year, issue one hundred and nine.
- [6] C. Montgomery, Douglas; L. Jennings, Cheryl ; Kulahci , Murat , (2015), " Introduction to
- [7] Dutt, Amitava K. and Ros, Jaime, (eds.) (2008), "International handbook of development economics" . Cheltenham, UK : Edward Elgar, , pp. 316-327.
- [8] Eswaran , Purwanto Chikkannan ; Logeswaran , Rajasvaran , (2010) , " A Comparison of ARIMA, Neural Network and Linear Regression Models for the Prediction of Infant Mortality

- Rate ", Fourth Asia International Conference on Mathematical/Analytical Modelling and Computer Simulation, IEEE computer and science journal.
- [9] Fang-Mei Tsenga, Gwo-Hshiung Tzengb;\_, Hsiao-Cheng Yua, Benjamin J.C. Yuana, (2001), "Fuzzy ARIMA model for forecasting the foreign exchange market", Fuzzy Sets and Systems 118 .
- [10] GE P. Box, GM Jenkins, Time series analysis: forecasting and control, revised ed, (1960)
- [11] GEORGE E. P. BOX; GWILYM M. JENKINS; GREGORY C. REINSEL, (2008), " Time Series Analysis Forecasting and Control ", A JOHN WILEY & SONS, INC., PUBLICATION, FOURTH EDITION
- [12] J. J.Wang, J. Z. Wang, Z.G. Zhang, and S. P. Guo, "Stock index forecasting based on a hybrid model," Omega, vol. 40, no. 6, pp. 758–766, 2012.
- [13] Jan G. De Gooijer, (2017), " Elements of Nonlinear Time Series Analysis and Forecasting ", springer, ISSN 0172-7397 ISSN 2197-568X (electronic) Springer Series in Statistics ISBN 978-3-319-43251-9 ISBN 978-3-319-43252-6 (ebook ) DOI 10.1007/978-3-319-43252-6
- [14] Khashei, Mehdi ; Bijari ,Mehdi , (A novel hybridization of artificial neural networks and ARIMA models for time series forecasting), "", Applied Soft Computing 11 (2011) 2664–2675.
- [15] Kumar , Manish; M. Thenmozhi, (2007), " A Comparison of Different Hybrid ARIMA - Neural Network Models for Stock Index Return Forecasting and Trading Strategy ", SSRN Electronic Journal DOI: 10.2139/ssrn.1009546
- [16] Li , Zeming & Li , Yanning , (2020) , " A comparative study on the prediction of the BP artificial neural network model and the ARIMA model in the incidence of AIDS ", BMC Medical Informatics and Decision Making (2020) 20:143 <https://doi.org/10.1186/s12911-020-01157-3>
- [17] Lou, He-Ren Wang; Xin; Gao, Ya & Zeng,Qiang, (2022), " Comparison of ARIMA model, DNN
- [18] Luc , Lenferink,(2019), " A comparison between artificial neural networks and ARIMA models in traffic forecasting ", Delft Electrical Engineering, Mathematics and Computer Science), [Computer Science and Engineering](#), <http://resolver.tudelft.nl/uuid:d235cd54-863a-4261-bf57-dd10125299bf>
- [19] McNicoll, Geoffrey , (2003), " Population and de opulation and development: An intr elopment: An introductory view ", Population Council Knowledge Commons.
- [20] Pandian , Shanthababu , (2023), " Time Series Analysis and Forecasting | Data-Driven Insights ", <https://www.analyticsvidhya.com/blog/2023/10/a-comprehensive-guide-to-time-series-analysis>.
- [21] Ramz L. Fraiha Lopes , Simone G. C. Fraiha, Herminio S. Gomes, Vinicius D. Lima, and Gervasio P. S. Cavalcante, (2020), "", Hindawi, International Journal of Antennas and Propagation Volume 2020, Article ID 8494185, 12 pages <https://doi.org/10.1155/2020/8494185>
- [22] Safi , Samir K. & Sanusi, Olajide Idris, (2021) , " A hybrid of artificial neural network, exponential smoothing, and ARIMA models for COVID-19 time series forecasting" , Model Assisted Statistics and Applications 16 (2021) 25–35 25 DOI 10.3233/MAS-210512 IOS Press.
- [23] Shrivastav AK, Ekata D., "Applicability of Box Jenkins ARIMA model in crime forecasting: 531 A case study of counterfeiting in Gujarat state. Int J Adv Res Comput Eng Technol. 2012;1(4):494-7.
- [24] Stephen, Siamba ; rgwings, Otieno A; Julius, Koech, (2022), " Application of ARIMA, hybrid ARIMA and Artificial Neural Network Models in predicting and forecasting tuberculosis incidences among children in Homa Bay and 3 Turkana Counties, Keny. medRxiv preprint doi: <https://doi.org/10.1101/2022.07.07.22277378>.
- [25] Tarmanini, Chafak; Sarma, Nur; Gezegin, Cenk; Ozgonenel, Okan , (2023), " Short term load forecasting based on ARIMA and ANN approaches ", Energy Reports 9, 550–557 . ESVIER.

- [26] Yumeng Xie , Peilin Zhang , and Yanyi Chen, (2021), " A Fuzzy ARIMA Correction Model for Transport Volume Forecast ", Hindawi , Mathematical Problems in Engineering, Volume 2021, Article ID 6655102, 10 pages, <https://doi.org/10.1155/2021/6655102>
- [27] Zhang , G. Peter, (2003), " Time series forecasting using a hybrid ARIMA and neural network model", Neurocomputing, ESEVIER.

AL- Rafidain  
University College

PISSN: (1681-6870); EISSN: (2790-2293)

## Journal of AL-Rafidain University College for Sciences

Available online at: <https://www.jrucs.iq>**JRUCS**Journal of AL-Rafidain  
University College  
for Sciences

## Predicting Population Numbers in Iraq using a Hybrid Fuzzy Model

**Bashar K. Ali**[bashar.k@uokerbala.edu.iq](mailto:bashar.k@uokerbala.edu.iq)Department of Statistics, Faculty of  
Administration and Economical Kerbala  
University, Kerbala, Iraq**Mahdi W. Naserallah**[mehdi.wahab@uokerbala.edu.iq](mailto:mehdi.wahab@uokerbala.edu.iq)

Al-Safwa University College, Kerbala-Iraq

**Tahani M. Abbas**[tahani@pgiafs.uobaghdad.edu.iq](mailto:tahani@pgiafs.uobaghdad.edu.iq)Post Graduate Institute for Accounting and Financial Studies, University of Baghdad, Baghdad,  
Iraq

### Article Information

#### Article History:

Received: February, 20, 2024

Accepted: April, 12, 2024

Available Online: December,  
31, 2024

#### Keywords:

Fuzzy Integrated mixed model (FARIMA), Artificial Neural Network model (ANNs), Fuzziness, Estimation, Forecasting, Mean Square Error (MSE), Bayesian Akaike Information Criterion (BIC).

### Abstract

*The Integrated mixed model (ARIMA) is a popular model for forecasting unstationary linear time series that combines the autoregressive (AR) model and the moving average (MA) model by including the integral part that changes the time series to make it stable. At the same time, prediction with hidden artificial neural networks (HANNs) is an alternative to linear methods. But often we encounter complex data, which means that there are two or more main components in the data, a linear component and a non-linear component, and these components can be interwoven together so that the overall effect is a mixture of the two effects, with each component having its own effect on the data. Also, we may find time series observations in the real world that suffer from inaccuracy in their measurements, and one of these phenomena is the population numbers in Iraq from 1978 to 2023, the majority of which depends on estimation and no accurate measurements are available. In this research, a fuzzy hybrid time series forecasting method (FHHAA) was proposed, a mixture of the (FARIMA) model and the (HANNs) model, then forecasting the population numbers in Iraq and comparing the proposed model with the (FARIMA) model, the (HANNs) model, (HANNs) and the non-fuzzy hybrid model using comparison criteria, Root Mean Square Error (RMSE), Bayesian Akaike Information Criterion (BIC). It was concluded that the proposed Fuzzy Hybrid Model (FHHAA) is better than the basic models because it recorded the lowest criteria's. The estimated values of population numbers were more consistent according to the (FHHAA) model. The population numbers in Iraq were predicted for the years (2024-2028), and it was shows an increase in the population from the year (2023) by approximately (6,940,432) people by the year (2028).*

#### Correspondence:

Bashar K. Ali

[bashar.k@uokerbala.edu.iq](mailto:bashar.k@uokerbala.edu.iq)DOI: <https://doi.org/10.55562/jrucs.v56i1.4>